

CT diagnostic value in gastrointestinal stromal tumors

LIAO Yu-zhen*, ZHANG Zhi-qiang, WANG Qiu-liang, LI Jing-yu

(Department of Radiology, Beijing Army General Hospital, Beijing 100700, China)

[Abstract] **Objective** To investigate the diagnostic value of CT in gastrointestinal stromal tumors (GISTs). **Methods** Both plain and two-phase dynamic enhanced spiral CT features in 18 cases with pathologically-proved GISTs were retrospectively analyzed. **Results** Eighteen GISTs originated from stomach ($n=9$) or small bowel ($n=9$), in which 6 benign tumors located in stomach, 12 cases of malignant or potential malignant tumors in stomach ($n=3$) or in small bowel ($n=9$). CT findings of GISTs included well-defined tumor margin (16/18, 88.9%), round or oval in shape(11/18, 61.1%) and homogeneous density (10/18, 55.6%). The benign tumors displayed homogeneous enhancement (5/6, 83.3%), whereas the malignant were heterogeneous density both on plain (7/12, 58.3%) and enhanced (11/12, 91.7%) CT scans. Accuracy of CT diagnosis for location and pathologic features of GISTs were 89.5% (16/18) and 83.3% (15/18), respectively. **Conclusion**

CT is a valuable examination for GISTs. CT can precisely display the location, shape and size of GISTs, and thus is very helpful to differentiate the benign from the malignant tumors.

[Key words] Gastrointestine; Stroma; Tomography, X-ray computed

胃肠道间质瘤的 CT 诊断价值

廖玉珍*, 张志强, 王秋良, 李京雨

(北京军区总医院放射科, 北京 100700)

[摘要] **目的** 分析胃肠道间质瘤 CT 征象, 评价 CT 的诊断价值。**方法** 回顾性分析 18 例病理证实为胃肠道间质瘤 (GISTs) 患者的 CT 平扫和双期动态强化螺旋 CT 扫描。**结果** 18 例 GISTs 发生在胃 9 例, 小肠 9 例; 良性 6 例(均发生在胃), 潜在恶性 3 例(胃 2 例, 小肠 1 例), 恶性 9 例(胃 1 例, 小肠 8 例); 多为边界清楚(16/18, 88.9%)、圆形或类圆形(11/18, 61.1%)、密度均匀(10/18, 55.6%) 的肿块。良性 GISTs 多强化均匀(5/6, 83.3%), 恶性者密度不均匀(7/12, 58.3%), 强化不均匀(11/12, 91.7%)。本组对 GISTs 的定位准确率和定性准确率分别为 89.5%(16/18) 和 83.3%(15/18)。**结论**

CT 能准确显示 GISTs 的部位、形态和大小, 鉴别肿瘤良恶性, 具有重要临床价值。

[关键词] 胃肠; 间质瘤; 体层摄影术, X 线计算机

[中图分类号] R735; R730.44 **[文献标识码]** A **[文章编号]** 1003-3289(2005)01-0090-03

胃肠道间质瘤 (gastrointestinal stromal tumor, GIST) 是消化道非上皮性肿瘤, 由于光镜下无法区分组织类型, 以往常规病理检查常诊断为平滑肌瘤、肉瘤等。随着免疫组化检测的应用普及, 对该肿瘤的病理诊断日益增多。本文对我院近年确诊病例的 CT 表现进行回顾性分析, 对照手术病理, 探讨 CT 诊断价值及限度。

1 材料与方法

1.1 一般资料 18 例 GISTs 患者, 男 9 例, 女 9 例, 年龄 28 ~70 岁, 平均 51 岁。有关 CT 资料完整, 均经我院手术、病理证实。临床主要表现腹部不适、腹痛, 5 例触及包块(胃 1 例,

小肠 4 例), 3 例胃部 GISTs 为 CT 腹部体检时偶然发现。

1.2 设备与方法 GE 公司 Prospeed plus 型 CT 机, 采用平扫加强化后肝动脉期, 门静脉期双期动态螺旋扫描, 扫描范围包括肝、肾及触及的肿块。

1.3 病理学诊断方法 包括光镜和免疫组化检查。以免疫组化 CD117 阳性、CD34 阳性、Actin 和 S-100 阴性或弱阳性的结果做为诊断间质瘤的标准。根据光镜检查细胞有无异型性、核分裂等鉴别肿瘤的良恶性。

2 结果

2.1 手术与病理 手术证实肿瘤发生在胃的 9 例, 其中胃底 5 例, 胃体 3 例, 胃窦 1 例; 发生在小肠的 8 例中, 十二指肠 2 例, 空肠 3 例, 回肠 2 例, 1 例肿瘤与小肠系膜广泛粘连, 未能确定具体位置。病理确诊 18 例均为 GISTs, 其中恶性 9 例(小肠 8 例, 胃 1 例), 潜在恶性 3 例(小肠 1 例, 胃 2 例), 良性 6 例(均在胃部)。

[作者简介] 廖玉珍(1947—), 女, 江西吉安人, 博士, 教授, 主任医师。研究方向: CT 及 MRI 诊断学。

[通讯作者] 廖玉珍, 北京军区总医院放射科, 100700。

[收稿日期] 2004-09-10 **[修回日期]** 2004-10-15

2.2 CT 表现 术前 CT 诊断胃平滑肌瘤 8 例, 平滑肌肉瘤 1 例, 小肠恶性肿瘤 7 例, 腹腔恶性肿瘤 2 例。与手术结果对比, CT 对 9 例胃 GISTs 定位准确, 其中肿瘤最大径小于 5 cm 的有 8 例。9 例小肠 GISTs 中, 最大径小于 7 cm 的 7 例定位准确, 直径分别为 15 cm、21 cm 的两例巨大肿瘤未准确定位于小肠。18 例 GISTs 的部位、性质与相应的 CT 表现见表 1。

本组 GISTs 的 CT 基本表现依次为边界清楚 (16/18, 88.9%)、圆形或类圆形 (11/18, 61.1%) 以及密度均匀 (10/18, 55.6%)。良性者强化均匀 (5/6, 83.3%), 恶性者常表现中心密度低、密度不均匀 (7/12, 58.3%) 及强化不均匀 (11/12, 91.7%) (图 1~4)。

9 例胃 GISTs 中, 3 例肿瘤局限性突向腔内, 3 例局限性突向腔外。9 例小肠 GISTs 中, CT 表现肠壁不规则增厚 3

表 1 18 例 GISTs 肿瘤部位性质与 CT 表现(例)

肿瘤	边界		形态			密度			强化		
	清	不清	圆、类圆	分叶	均匀	中心低	不均	均匀	中心低	不均	
胃	良性(6)	6	5	1	5	1		5	1		
	潜在恶性(2)	2	1	1	1	1		1	1		
	恶性(1)	1	1			1			1		
小肠	潜在恶性(1)	1	1		1					1	
	恶性(8)	6	2	3	5	3	5			8	
合计 (18)		16	2	11	7	10	3	5	6	3	9



图 1A 胃底良性间质瘤 平扫肿瘤边界清楚, 密度均匀, 呈圆形突向腔外



图 1B 图 1A 病例, 肿瘤均匀强化

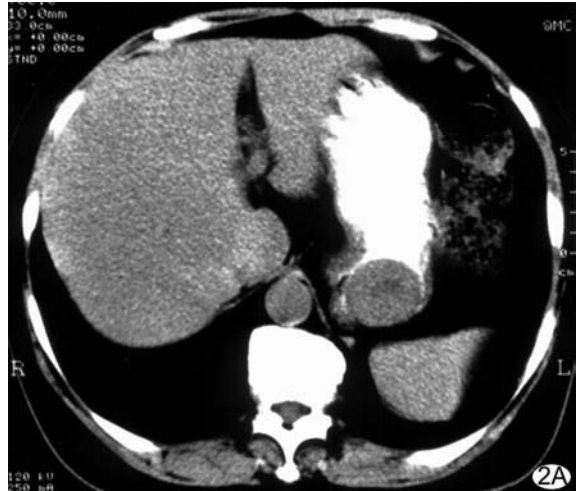


图 2A 胃底潜在恶性间质瘤 平扫肿瘤边界清楚, 中心密度低, 呈圆形突向腔内

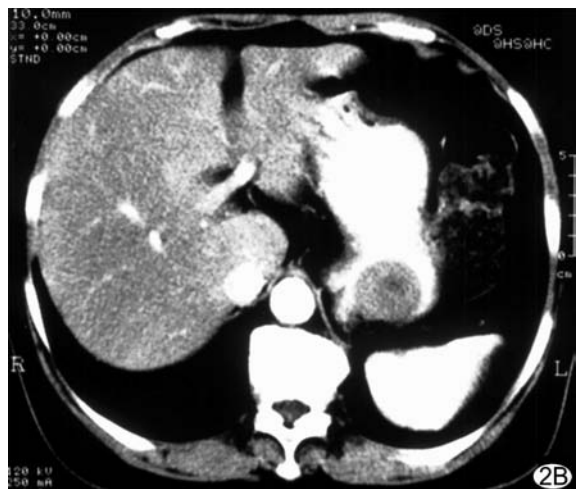


图 2B 图 2A 病例, 肿瘤不均匀强化

例, 相邻肠管受压 3 例。18 例均无明显消化道梗阻表现。术后一年 4 例恶性 GISTs (胃 1 例, 小肠 3 例) 复发, 复发瘤巨大 (图 5), 其中 3 例伴肝转移。

3 讨论

胃肠道间质瘤 (GISTs) 是 20 世纪 80 年代初才命名的消化道非上皮性肿瘤。当时电镜及免疫组化检测发现此类肿瘤缺少平滑肌和神经原细胞, 具有免疫组化检测 CD117、CD34



图3 回肠恶性间质瘤 平扫肿瘤分叶状,中心坏死密度低



图4 回肠恶性间质瘤。肿瘤巨大,囊变

单克隆抗体表达阳性,Actin、S-100 表达阴性或肿瘤内少数灶状阳性特点,属于具有多方向分化潜力的原始肿瘤^[1-3]。伴随着病理学研究的发展,近年来不少作者探讨了GISTS 的影像学表现,特别是螺旋CT 的诊断特点^[4-7]。

GISTS 多发生于胃,其次是小肠,少量在结肠、直肠、网膜或腹膜后。一般认为,GISTS 发生在胃或肿瘤直径小于5 cm 的常为良性,发生于小肠、体积大的肿瘤多为恶性。本组6例良性均来自胃,9例小肠GISTS 均为恶性。在恶性与潜在恶性的12例中,有4例直径小于5 cm。由此看来,肿瘤发生部位与良恶性密切相关,此种趋势与文献报道一致^[1]。然而,本组资料中较小肿瘤为恶性者并不少见。

CT 因其具有密度分辨率高、组织对比好的优势,可清晰显示胃肠道管腔、管壁及周围组织结构的形态,对间质瘤的定位、定性和分期有重要作用。本组18例中,CT 对16例GISTS 定位准确(16/18, 89.5%),其余2例因瘤体巨大而无法正确定位;CT 定性准确15例(15/18, 83.3%),其余3例中,发生在胃的2例潜在恶性肿瘤因其具有圆形类、圆形、边缘光滑和密度均匀等特点被误认为良性,1例小肠的潜在恶性肿瘤以其明显不均匀强化特点被诊断为恶性。

大体病理观察可见良性GISTS 较小,组织切面光滑;恶性者瘤体大,切面呈鱼肉状,多有出血、坏死、囊变。CT 表现反映了肿瘤上述大体病理特点,对鉴别GISTS 的良恶性有益。良性GISTS CT 显示病灶体积较小、密度均匀、强化均匀、有的强化不明显;恶性者肿瘤大、中心密度低或整体不均匀、强化明显且不均匀。由于潜在恶性是病理学分类,影像表现并无特异性,因此CT 难以对恶性与潜在恶性进行鉴别诊断。

CT 诊断GISTS 存在一定的限度。消化道非上皮性肿瘤种类较多,其中有些肿瘤大体病理相似,影像学检查很难表现肿瘤的分化特征。此外,小肠GISTS 的肠壁不规则增厚、巨大肿块等CT 征象不是典型黏膜下肿瘤生长特点,很难与肉瘤、淋巴瘤鉴别。尽管如此,但CT 对肿瘤定位、形态大小、良恶性判断较准确,可同时观察肿瘤周围脏器及有无转移等重要征象,是临床对肿瘤分级、设计治疗计划和估价预后所不可



图5 空肠恶性间质瘤术后复发 肿瘤巨大,腹腔广泛转移

缺少的方法^[8]。

〔参考文献〕

- [1] Berman J, Oleary TJ. Gastrointestinal stromal tumor workshop [J]. Human Pathology, 2001, 32(6):578-582.
- [2] Zhang LJ, Zhang CH, Du JY. A clinicopathologic study of gastrointestinal stromal tumors [J]. J Diag Pathol, 1999, 6(2):78-80. 张立杰,张长淮,都吉雅. 58例胃肠道间质瘤的病理学观察[J]. 诊断病理学杂志, 1999, 6(2):78-80.
- [3] Gu XW, Tao XY, Xiao Q, et al. Immunopathological analysis in 41 cases with gastrointestinal stromal tumors [J]. J Pract Med, 2002, 17(9):855-856. 顾学文,陶小钰,肖芹,等. 胃肠道间质瘤41例免疫病理分析[J]. 实用医学杂志, 2001, 17(9):855-856.
- [4] Sun XR, Li BY, Minawa, et al. Imaging diagnosis of gastrointestinal stromal tumors [J]. Chin J Med Imaging Technol, 2002, 18(9):912-914. 孙绪荣,李白艳,米娜佳尔,等. 胃肠间质肿瘤的影像学诊断[J]. 中国医学影像技术, 2002, 18(9):912-914.
- [5] Fang SH, Luo YX, Meng L, et al. CT diagnosis of gastrointestinal stromal tumors [J]. J Clin Radiol, 2002, 21(4):280-282. 方松华,罗叶旋,孟磊,等. 胃肠道间质瘤的CT 诊断[J]. 临床放射学杂志, 2002, 21(4):280-282.
- [6] Xie Q, Chen SL, Liu B, et al. The application of SCT in the diagnosis of gastric disease [J]. Chin J Med Imaging Technol, 2002, 18(1):51-53. 谢琦,陈胜利,刘兵,等. 螺旋CT 在胃部疾病中的应用[J]. 中国医学影像技术, 2002, 18(1):51-53.
- [7] Burkitt GJC, Badran M, AL-Muderis O, et al. Malignant gastrointestinal stromal tumor: distribution, imaging features, and pattern of metastatic spread [J]. Radiology, 2003, 226(2):527-532.
- [8] Tateishi U, Hasegawa T, Satake M, et al. Gastrointestinal stromal tumor: correlation of computed tomography findings with tumor grade and mortality [J]. J Comput Assist Tomogr, 2003, 27(4):792-798.